

**ЭКСПЕРИМЕНТАЛЬНОЕ ИССЛЕДОВАНИЕ ВОЗДУШНОЙ УДАРНОЙ ВОЛНЫ
ПРИ ПОДВОДНОМ ВЗРЫВЕ В МЕЛКОМ ВОДОЕМЕ**

B. N. Костюченко, Н. Н. Симонов

(Москва)

При подводном взрыве на небольшой глубине, например при подрыве льда на водоемах, существенное значение может иметь воздушная ударная волна.

Качественный анализ полученных еще в 1943 году на полутеневой установке фотографии показал, что при выходе ударной волны в воде на свободную поверхность (граница раздела вода — воздух) образуется воздушная ударная волна, так называемая преломленная волна.

Как показали измерения, эта волна уже на небольших расстояниях от эпицентра взрыва (порядка $20-30 R_0$) имеет очень малую амплитуду и близка к акустической. В дальнейшем в работе преломленная волна не рассматривается.

В последующие, после взрыва, моменты времени водяная ударная волна и расширяющийся газовый пузырь, воздействуя на свободную поверхность, вызывают подъем слоя воды в виде купола. Поршневое действие поднимающегося вверх со значительной скоростью водяного купола вызывает появление в воздухе второй ударной волны, которая, как видно из фиг. 1, в начальной стадии примыкает к вершине купола и имеет форму, близкую к параболической. Такая волна не будет подчиняться закону распространения сферической ударной волны и не может быть описана трехчленной формулой М. А. Садовского [1]. При дальнейшем распространении параболическая форма волны будет постепенно приближаться к сферической.

Настоящая работа поставлена с целью экспериментального изучения основных параметров воздушной ударной волны при подводном взрыве в мелком бассейне.

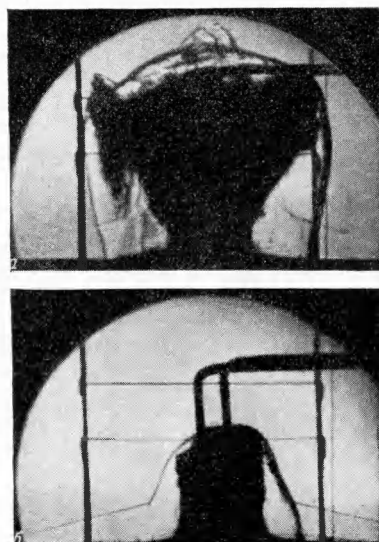
Экспериментальная часть. Работа делится на две части, одна из них была проведена на малых зарядах в лаборатории, а вторая — на водном полигоне с крупными зарядами.

Лабораторная часть работы охватывает область расстояний от 20 до $60 R_0$ (R_0 — радиус заряда) от центра заряда и проводилась на полутеневой установке. В качестве бассейна использовался круглый стальной сосуд диаметром 300 мм и глубиной 92 мм, в который насыпался песок. Расстояние от верхнего края бассейна до песка оставалось постоянным во всех опытах и равнялось 12 мм ($4R_0$).

В бассейн наливалась вода вровень с верхним краем. Заряд погружался в воду на заданную глубину. Таким образом дном во всех опытах служил водонасыщенный песок; толщина такой песчаной подушки до стального дна бассейна составляла 80 мм. Заряд брался сферический, прессованный из ТЭН. Вес заряда 0,17 г, плотность $1,5 \text{ г}/\text{см}^3$ и диаметр 6 мм. Инициирование осуществлялось при помощи пережигания током высокого напряжения (7—9 кВ) манганинового мостика, проходящего через центр заряда, где помещалось 10 мг флегматизированного азота свинца. Фотографировалась ударная волна в воздухе, распространяющаяся от заряда над поверхностью воды. Фотографирование производилось прибором СФР-2 (сверхскоростной фоторегистр-2, несколько видоизмененный конструктивно для использования совместно с полутеневой установкой) в варианте лупы времени.

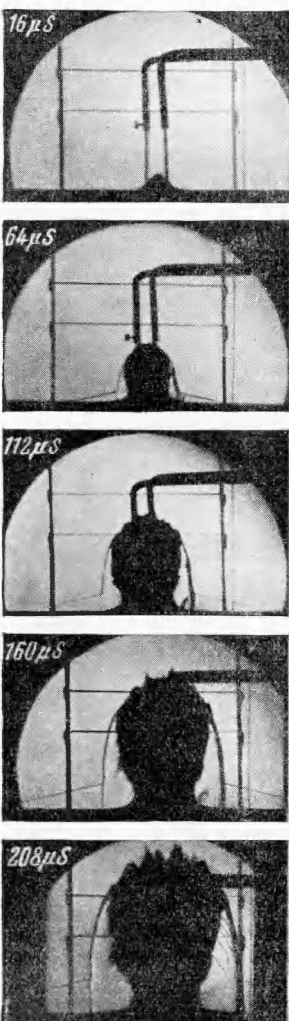
Частота съемки во всех опытах была постоянной и равной 125 000 кадров в секунду. Необходимая жесткая синхронизация всех стадий опыта — зажигание подсвечивающей искры, подрыв заряда и положение зеркала прибора СФР-2, обеспечивалась датчиком фоторегистра и управляемыми им специальными импульсными реле. Для каждой глубины погружения заряда ставилось 4 опыта. Всего исследовалось 4 глубины погружения заряда: $H = 0$ (половина заряда над поверхностью воды), $H = 1R_0$ (заряд весь погружен в воду и касается ее поверхности), $H = 2R_0$ и $H = 3R_0$. На фиг. 2 даны фотографии распространения ударной волны над поверхностью воды.

Полигонные опыты были проведены под руководством Л. С. Козаченко. Бассейн с песчаным дном имел размеры 85×20 м. Глубина бассейна составляла 1 м = $4R_0$. Заряд имел сферическую форму и приготавлялся из литого тротила плотностью $1,6 \text{ г}/\text{см}^3$. Вес заряда равнялся 100 кг. В качестве регистрирующей аппаратуры исполь-



Фиг. 1. Полутеневые фотографии взрыва заряда ТЭН весом 0,17 г:
а) на глубине, равной одному радиусу заряда; б) на глубине 3 радиуса заряда. Время 160 μs от момента взрыва

зовалась специально разработанная двухканальная установка ПИД-9 (пьезоэлектрический измеритель давления-9). Эта установка дает возможность получать запись изменения давления в ударной волне во времени. В качестве датчиков использовались кварцевые ножевые датчики.



Результаты опытов и их обсуждение. Полученные на полутеневой установке снимки обмерялись на проекционном аппарате. В результате обработки данных обмера были построены кривые зависимости скорости распространения ударной волны над поверхностью воды от расстояния оси, проходящей через центр заряда. На фиг. 3 приведены кривые зависимости $D = D(R)$, построенные по большому количеству точек.

Были проведены отдельные опыты по определению активного заряда с парафиновой оболочкой при взрыве в воздухе. В результате опытов было получено, что заряд в такой оболочке «работает» практически без химических потерь, активная энергия равна 0,220 кал, что составляет 0,164 г ТЭН или 0,218 г ТНТ.

Основными параметрами ударной волны в полигонных опытах принимались избыточное давление на фронте волны Δp и импульс положительной фазы давления I . На фиг. 4 графически представлены обобщенные результаты опытов на теплоровской установке и на полигоне в виде кривых зависимостей давления на фронте ударной волны от приведенного расстояния $h = R/R_0$.

Пунктирная кривая — наземный взрыв такого же заряда в воздухе. При рассмотрении экспериментальных кривых на фиг. 4 необходимо отметить следующее:

1. Экспериментальные кривые, отражающие зависимость $\Delta p = \Delta p(h)$ воздушной ударной волны, образующейся при подводном взрыве в мелком бассейне, совершенно не подобны кривой $\Delta p = \Delta p(h)$ воздушной ударной волны при наземном взрыве заряда в воздухе вплоть до исследованных расстояний от центра взрыва ($h = 140$) и поэтому могут быть аппроксимированы общеизвестной формулой для наземного взрыва.

2. Характер затухания волны с расстоянием для всех четырех экспериментальных кривых (соответствующих 4 глубинам погружения заряда H) различен. Это обстоятельство лишает возможности выразить их одной экспериментальной формулой.

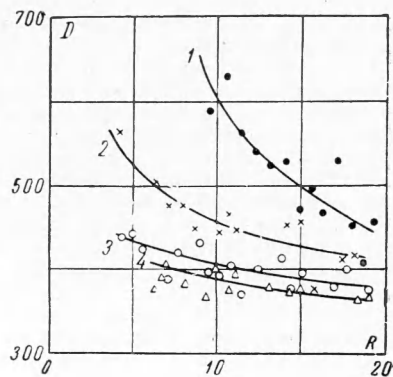
Фиг. 2. Полутеневая фотография взрыва заряда ТЭН весом 0,17 г на глубине, равной $2R_0$

Величина импульса на исследованных расстояниях значительно меньше, чем импульс от наземного взрыва заряда в воздухе. Как и в случае давления Δp , наблюдается более слабое затухание импульса с расстоянием по сравнению с наземным взрывом.

Сравнение осциллограмм ударных волн при различных глубинах погружения с осциллограммой ударной волны от взрыва заряда в воздухе в свободном пространстве приводится на фиг. 5.

Таким образом воздушная ударная волна при подводном взрыве в мелких водоемах обладает рядом существенных особенностей по сравнению со взрывом в воздухе.

Фиг. 3. Зависимость скорости воздушной ударной волны D м/сек от расстояния R см при разных глубинах погружения заряда. Кривые 1, 2, 3, 4 соответствуют значениям $H = 0, 1, 2, 3$



Эти особенности можно объяснить, представив следующую схему образования воздушной ударной волны. Отражение ударной волны в воде от свободной поверхности вы-



зывает подъем с большой скоростью слоя воды, причем начальная скорость подъема поверхности спадает с расстоянием от эпицентра [2]. Движение масс воды встречает сильное сопротивление окружающего воздуха. В результате образуется ударная волна, прилегающая к верхней части поднимающегося купола. Таким образом поднимающийся купол является источником воздушной ударной волны, подобно тому, как летящее с большой скоростью твердое тело образует расходящуюся коническую ударную волну, интенсивность

Фиг. 4. Зависимость избыточного давления $\Delta p \text{ кг}/\text{см}^2$ в воздушной ударной волне от приведенного расстояния $h = R / R_0$ для разных глубин погружения заряда (даные полигоновых опытов отмечены точками) кривые и точки 1, 2, 3, 4 соответствуют глубинам погружения заряда $H=0, 1, 2, 3$. Пунктирная кривая — наземный взрыв заряда в воздухе

которой Δp , как известно, падает с расстоянием от оси R по закону $\Delta p \sim R^{-0.75}$.

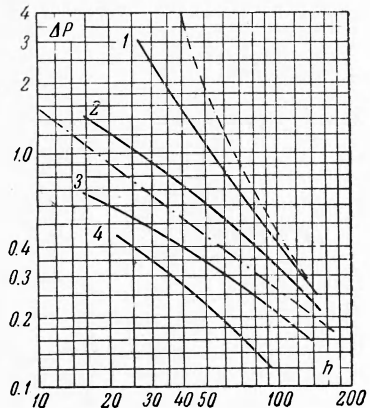
На фиг. 6 в логарифмическом масштабе нанесены экспериментальные кривые для различных глубин погружения заряда. Пунктирная кривая — наземный взрыв. Для сравнения на рис. 6 нанесена прямая с показателем степени, равным — 0,75.

Как видно из фиг. 6, наклоны кривых 2, 3 и 4 близки к наклону этой прямой. Кривая 1 соответствует взрыву полупогруженного заряда и занимает промежуточное положение между кривой наземного взрыва и прямой с показателем степени 0,75, т. е. в этом случае принятая схема образования ударной волны не описывает явления.

Нужно отметить, что принятая аналогия очень упрощает явление. В действительности скорость ку-

пола не постоянна, а все время падает. Кроме того, купол расширяется, что приводит к дополнительному увеличению интенсивности ударной волны.

В силу того, что скорость купола все время падает, ударная волна начинает обгонять купол, начиная с некоторого момента времени. Момент отрыва волны можно оценить примерно как момент достижения куполом скорости звука в воздухе. Этот момент достигается, когда высота купола составляет около $40-50 R_0$. Поэтому можно ожидать, что на расстояниях $h \approx 40-50$ закон затухания Δp от расстояния будет бли-



Фиг. 6. Зависимость избыточного давления $\Delta p \text{ кг}/\text{см}^2$ в воздушной ударной волне от приведенного расстояния $h = R / R_0$ для разных глубин погружения заряда; кривые 1, 2, 3, 4 соответствуют значениям $H = 0, 1, 2, 3$; пунктирная кривая — наземный взрыв заряда в воздухе

зок к цилиндрическому. На больших расстояниях находится переходная область от цилиндрического к сферическому закону затухания Δp с расстоянием. Из фиг. 6 видно, что при $h = 80-100$ наблюдается изменение наклона кривых в сторону приближения к сферической зависимости.

ЛИТЕРАТУРА

- Садовский, Физика взрыва, Изд-во АН СССР, № 1, 1952.
- Коул Р. Подводные взрывы. И. Л., 1950.

Поступила
18 I 1960